

■ Testosterone

□ Estradiol

*p<0.05, vs. corresponding control

**p<0.01, vs. corresponding control

Fig. 1-13

Serum sex steroid levels in offspring exposed gestationally and lactationally to DBP, DINP, or DEHA.

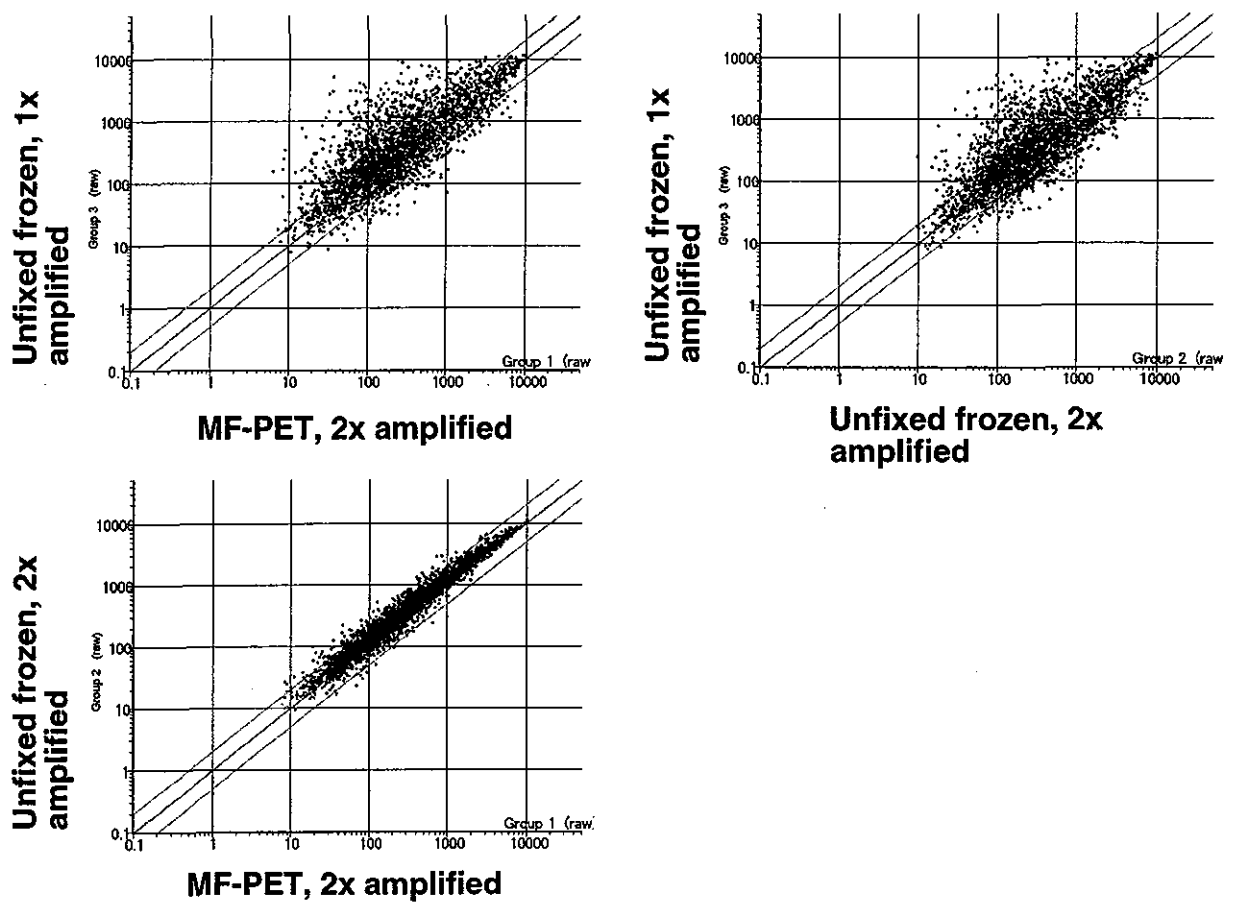


Fig. 1-14

Correlation analysis of gene expression data between unfixed-frozen tissue and methacarn-fixed PET

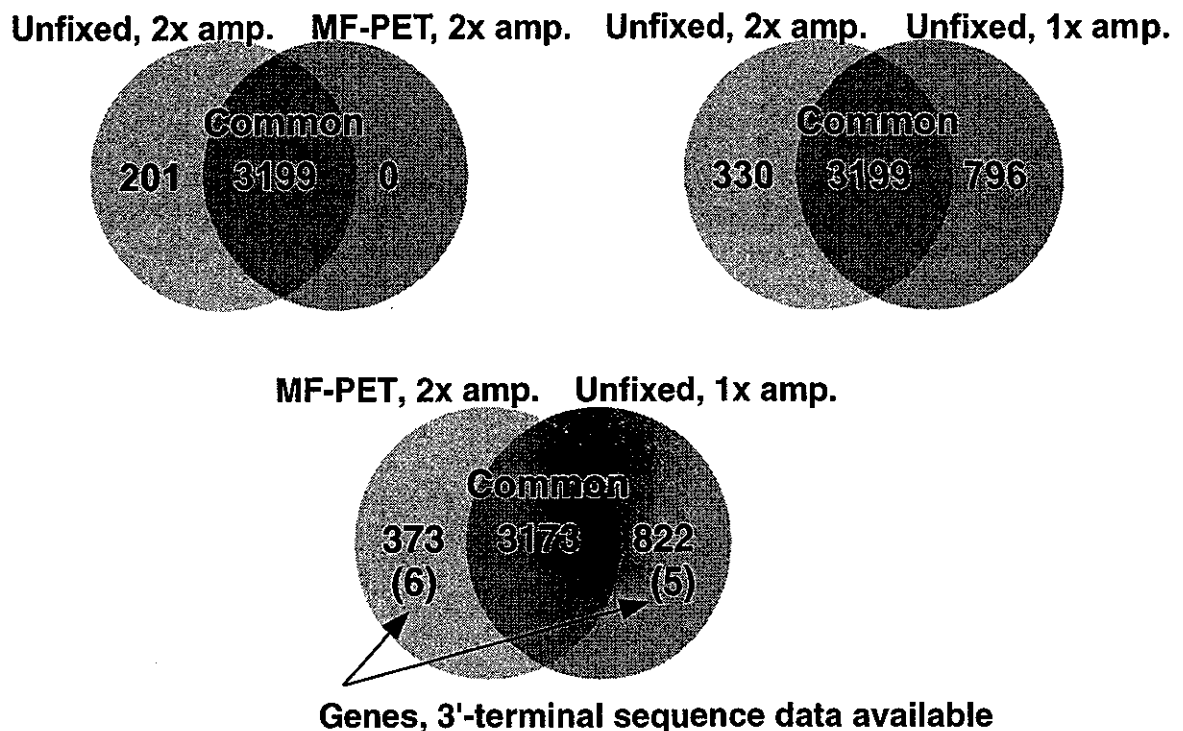
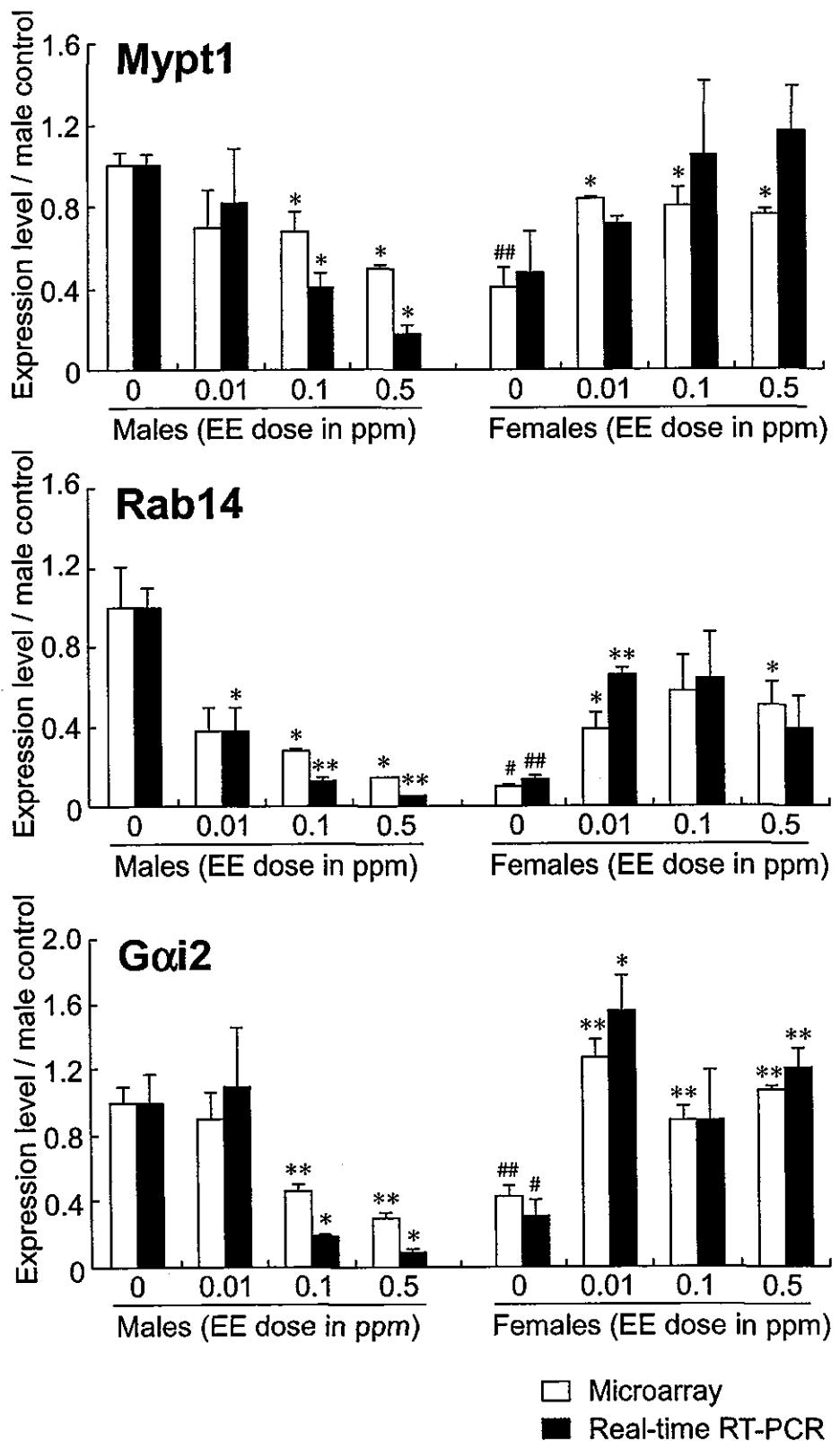


Fig. 1-15



*, **: Significantly different from the corresponding controls (* $p<0.05$, ** $p<0.01$).
 #, ##: Significantly different from male values (# $p<0.05$, ## $p<0.01$).

Fig. 1-16

Confirmation of microarray data by real-time RT-PCR in the EE study.

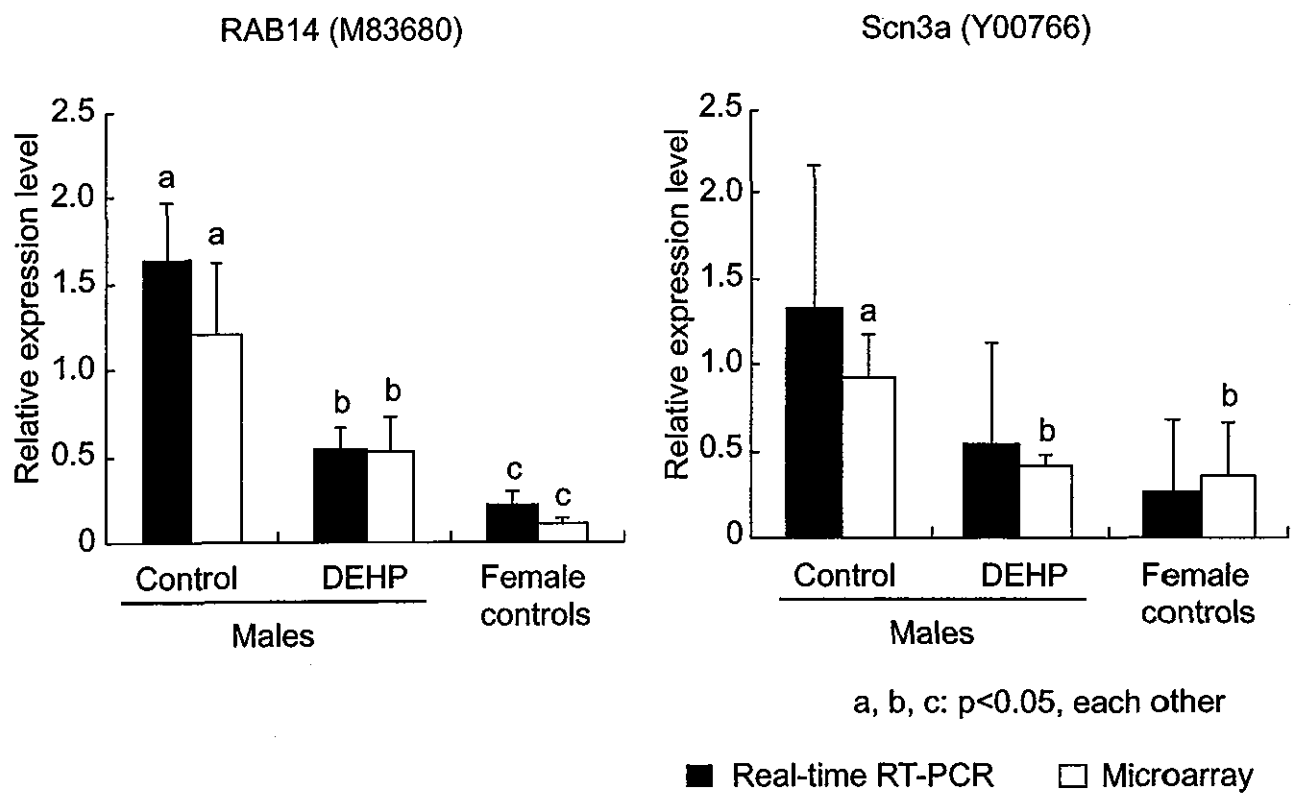


Fig. 1-17

Confirmation of microarray data by real-time RT-PCR in the DEHP study.

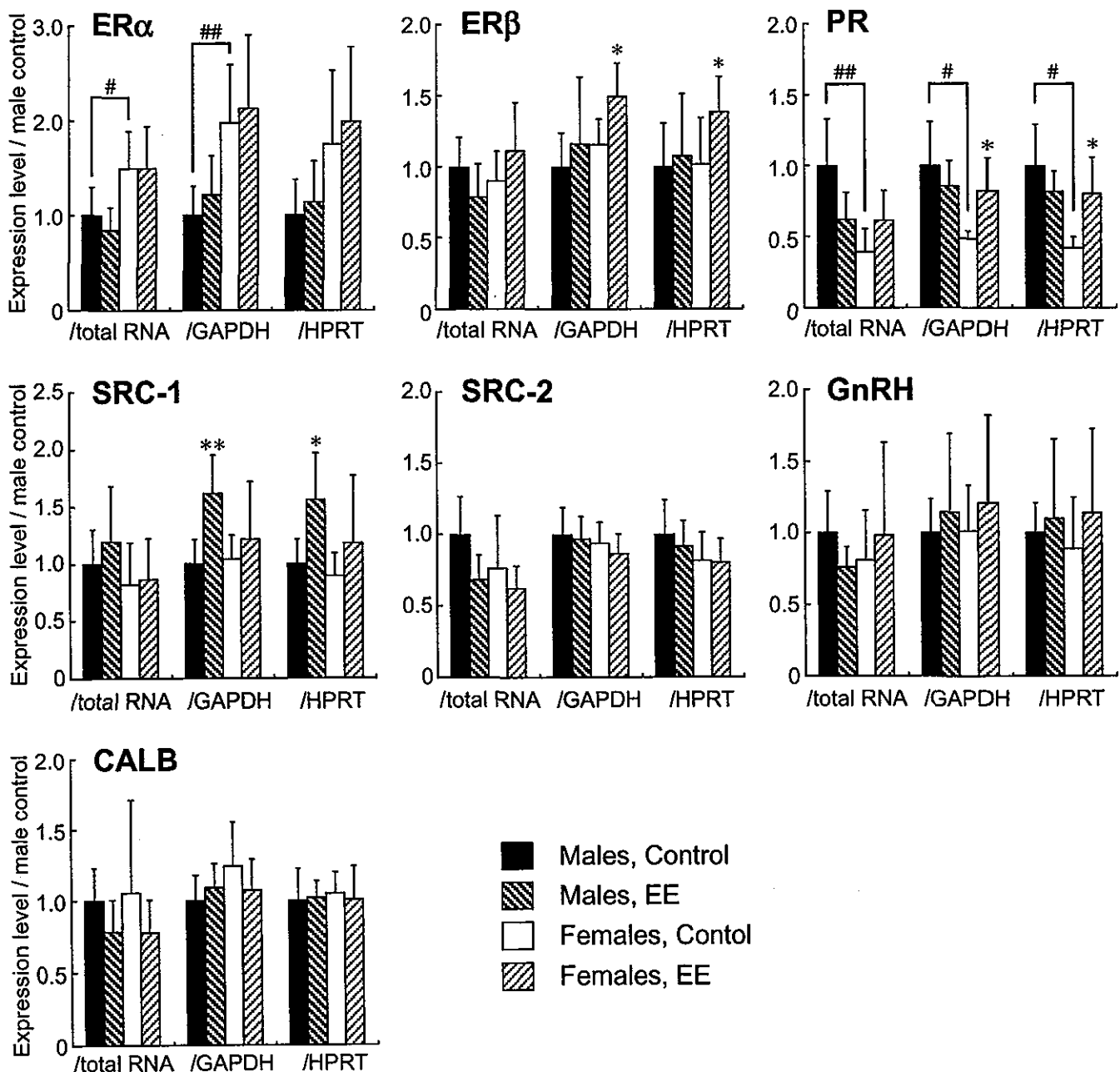


Fig. 1-18

Gene expression data for the MPOA at PND 10 of pups exposed maternally to EE. Data are ratios to male control values, expressed as mean \pm SD, and normalized for the input amount of total RNA, or expression of GAPDH or HPRT. #, **: Significant differences between males and females ($*p < 0.05$, $**p < 0.01$ by Student's *t*-test). *, **: Significant differences from the controls of the corresponding sex ($*p < 0.05$, $**p < 0.01$ by Student's *t*-test).

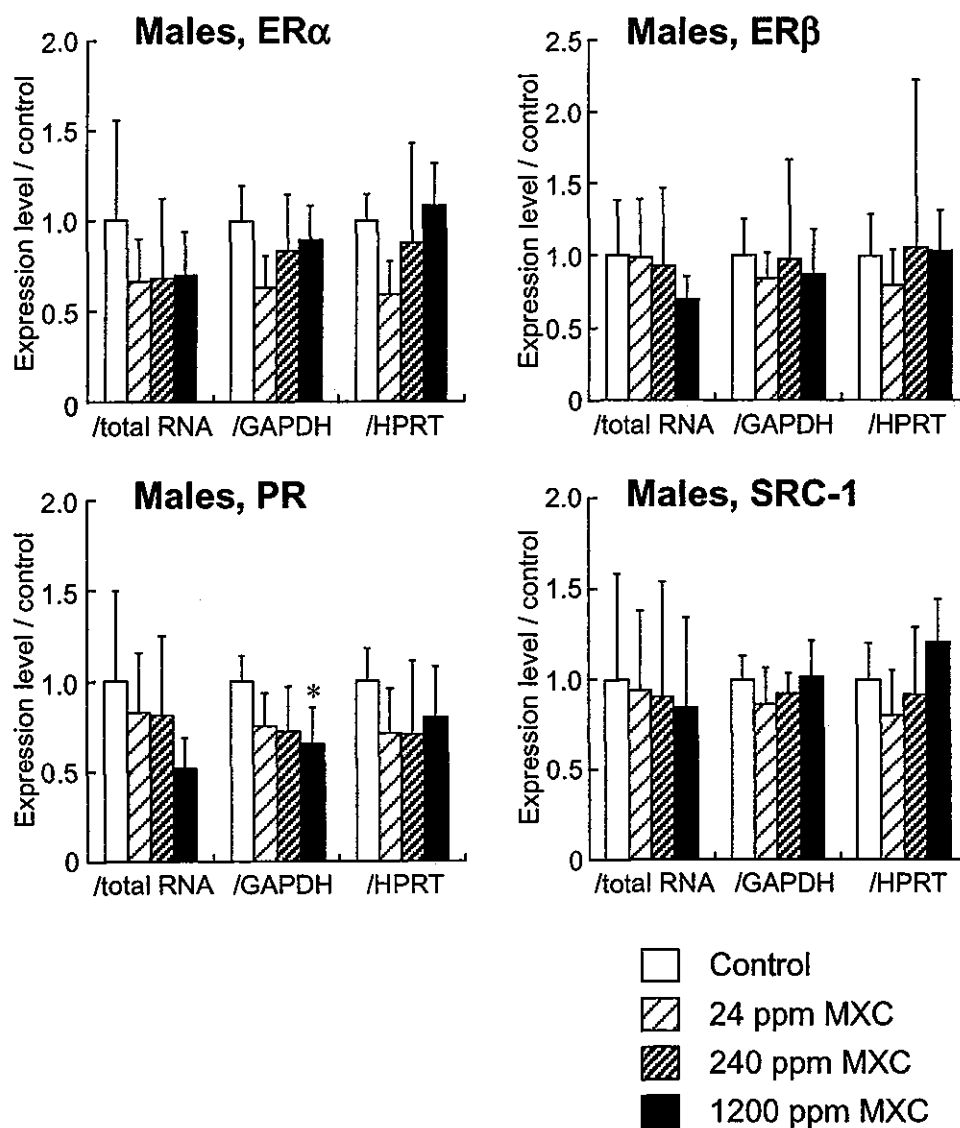


Fig. 1-19

Gene expression data for the MPOA at PND 10 of male pups exposed maternally to MXC. Data are ratios to control values, expressed as mean \pm SD, and normalized for the input amount of total RNA, or GAPDH- or HPRT-expression. *: Significantly different from the controls ($*p < 0.05$ by Dunnett's test).

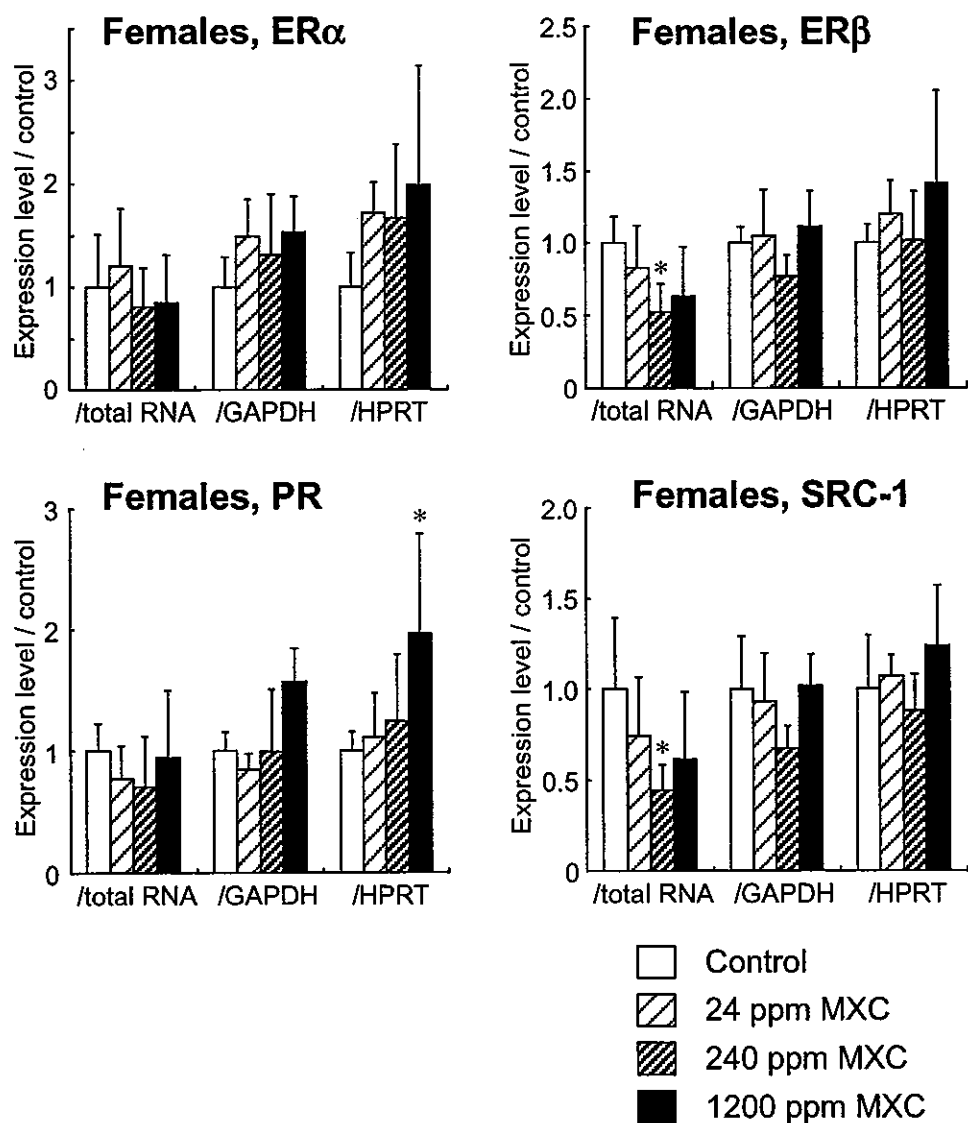


Fig. 1-20

Gene expression data for the MPOA at PND 10 of female pups exposed maternally to MXC. Data are ratios to control values, expressed as mean \pm SD, and normalized for the input amount of total RNA, or GAPDH- or HPRT-expression. *: Significantly different from the controls ($*p < 0.05$ by Dunnett's test).

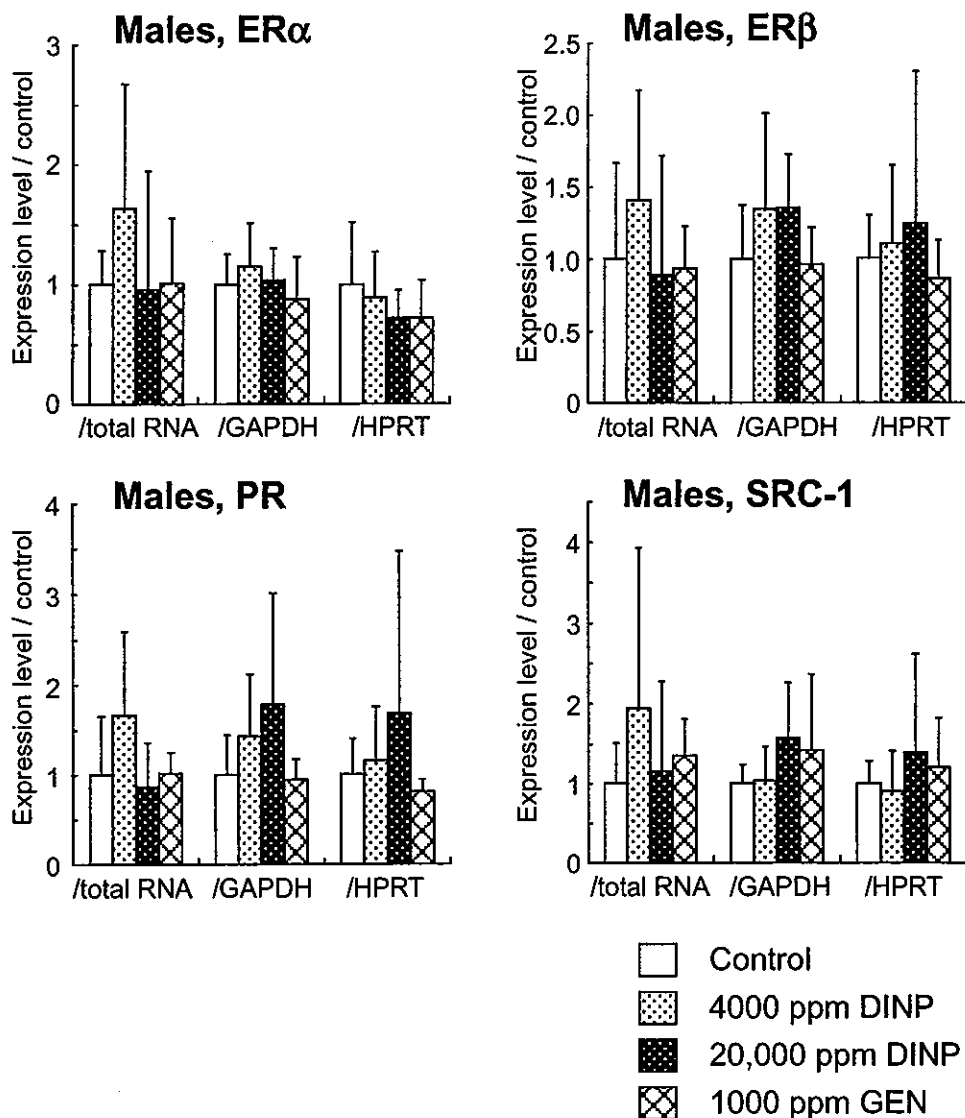


Fig. 1-21

Gene expression data for the MPOA at PND 10 of male pups exposed maternally to Dinp or GEN. Data are ratios to control values, expressed as mean \pm SD, and normalized for the input amount of total RNA, or GAPDH- or HPRT-expression.

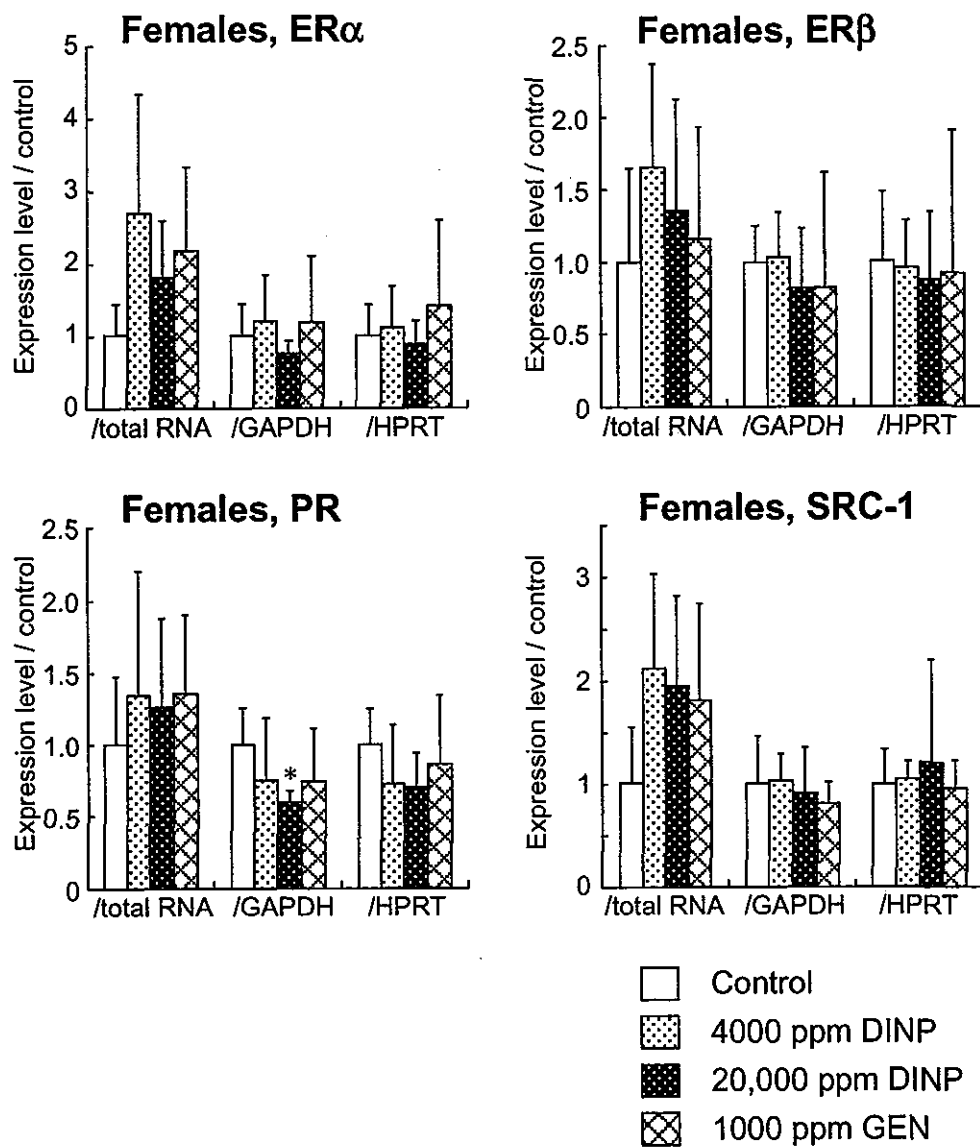


Fig. 1-22

Gene expression data for the MPOA at PND 10 of female pups exposed maternally to Dinp or GEN. Data are ratios to control values, expressed as mean \pm SD and normalized for the input amount of total RNA, or GAPDH- or HPRT-expression. *: Significantly different from the controls ($*p < 0.05$ by Dunnett's test).

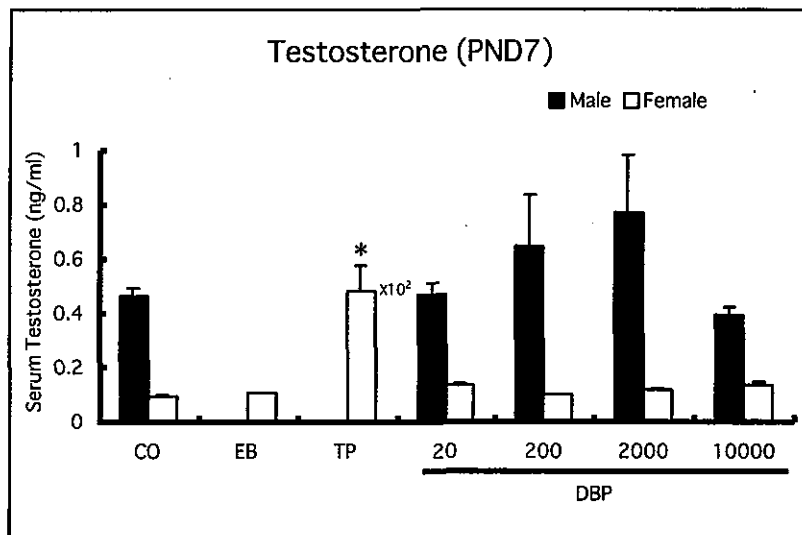


Fig. 1-23

7日齢ラットの血清中testosterone濃度に対する性ステロイドおよびDBPの影響. * : $p < 0.05$ vs. CO

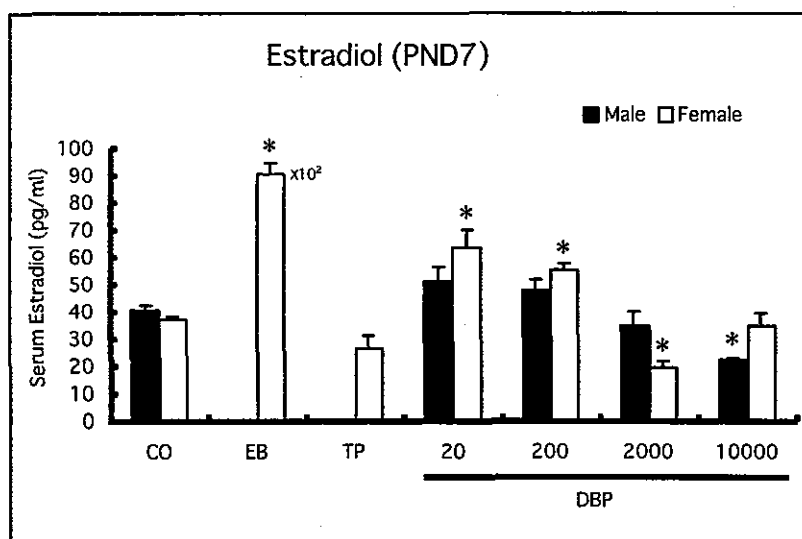


Fig. 1-24

7日齢ラットの血清中estradiol濃度に対する性ステロイドおよびDBPの影響. * : $p < 0.05$ vs. CO

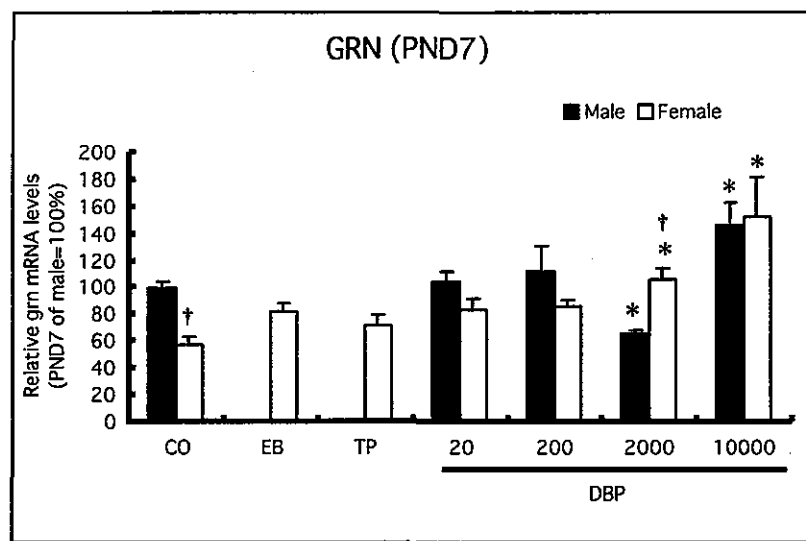


Fig. 1-25

7日齢ラットの視床下部 granulin (grn) 遺伝子発現に対する性ステロイドおよびDBPの影響.

† : p<0.05 male vs. female, * : p<0.05 vs. CO

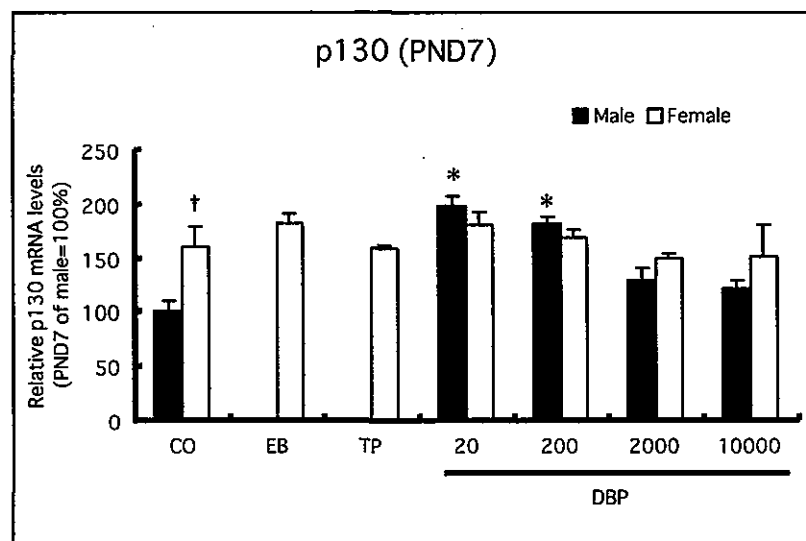


Fig. 1-26

7日齢ラットの視床下部 p130 遺伝子発現に対する性ステロイドおよびDBPの影響.

† : p<0.05 male vs. female, * : p<0.05 vs. CO

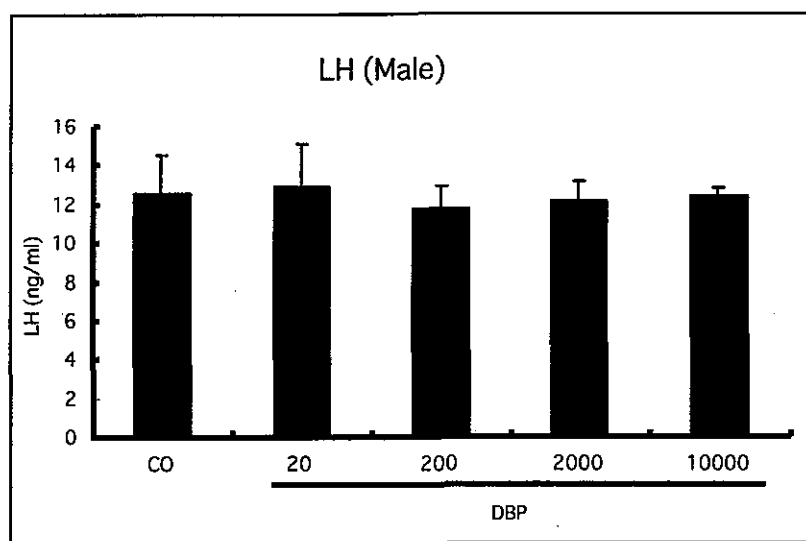


Fig. 1-27
21週齢雄ラットの血清中LH濃度に対するDBPの影響.

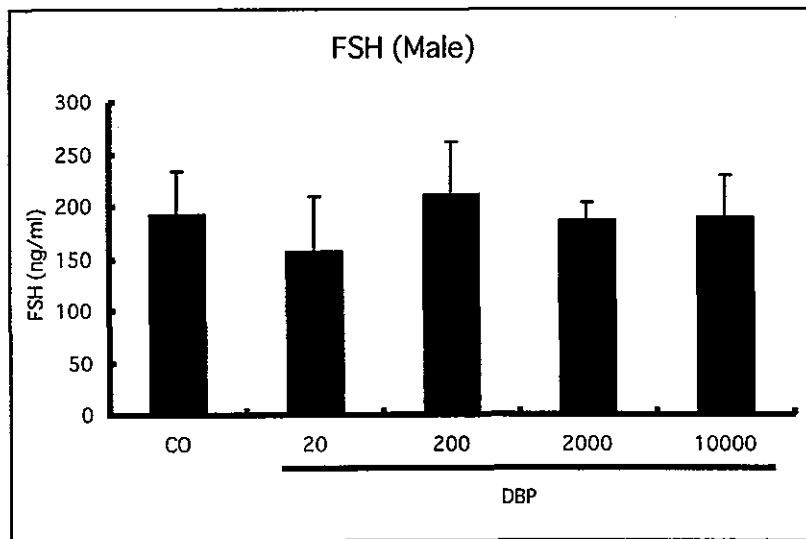


Fig. 1-28
21週齢雄ラットの血清中FSH濃度に対するDBPの影響.

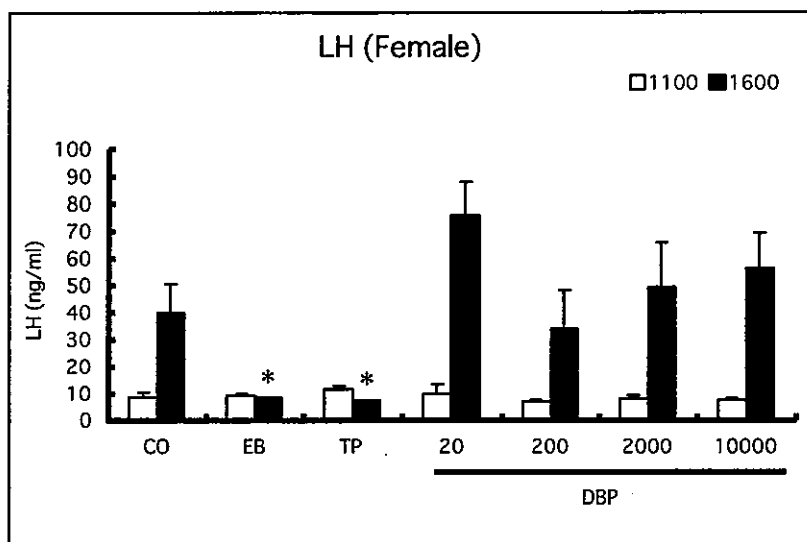


Fig. 1-29

21週齢雌ラットの血清中LH濃度に対するDBPの影響.

* : $p < 0.05$ vs. CO

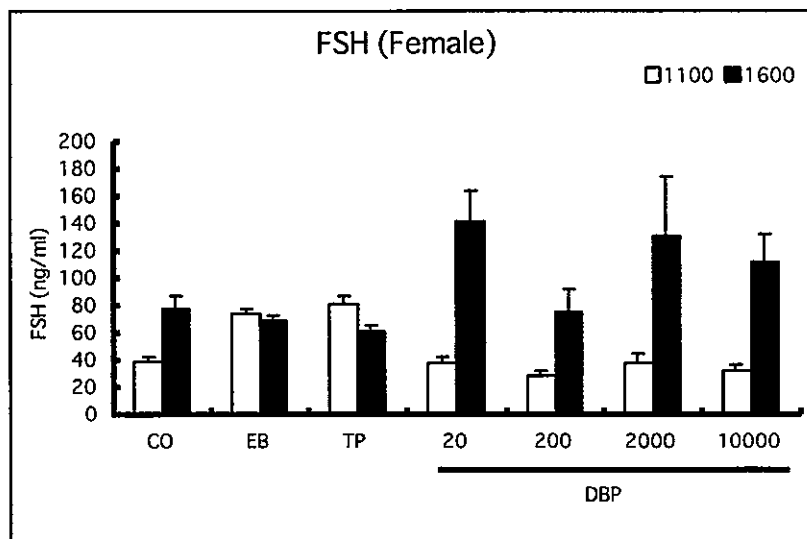


Fig. 1-30

21週齢雌ラットの血清中FSH濃度に対するDBPの影響.

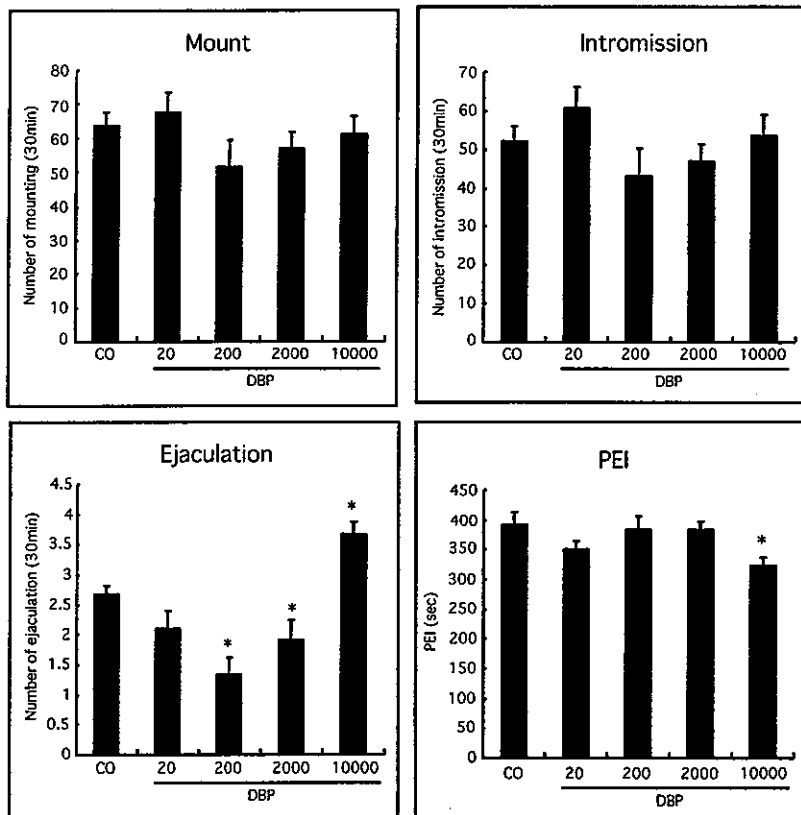


Fig. 1-31
11週齢雄ラットの性行動に対するDBPの影響.
* : p<0.05 vs. CO

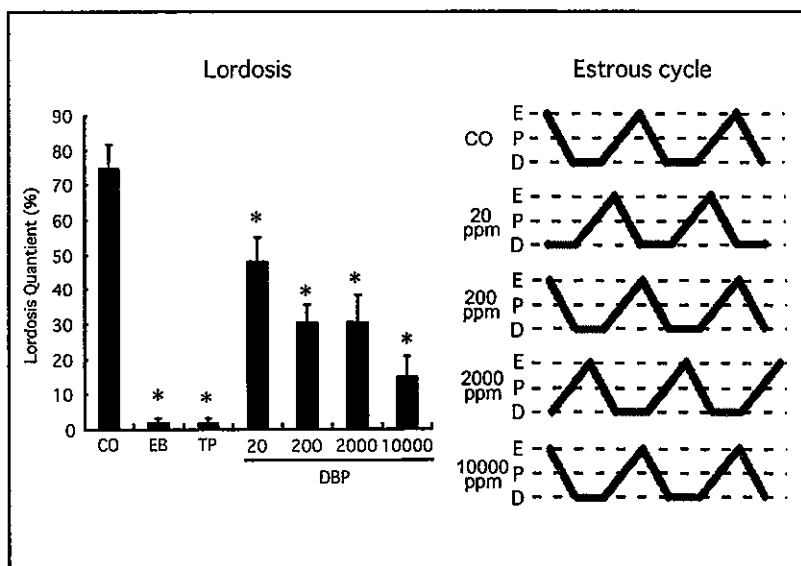


Fig. 1-32
11週齢雌ラットのロードーシス反射の出現及び性周期に対する
DBPの影響. * : p<0.05 vs. CO

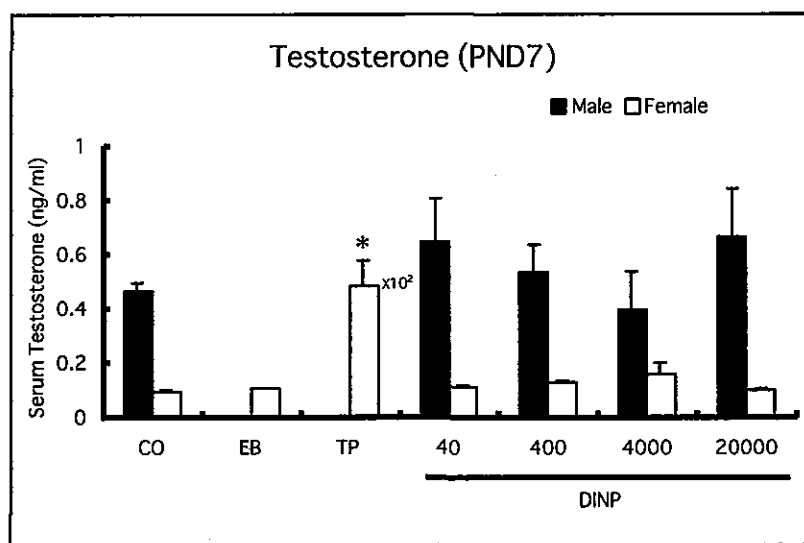


Fig. 1-33

7日齢ラットの血清中testosterone濃度に対する性ステロイドおよびDInPの影響。 * : p<0.05 vs. CO

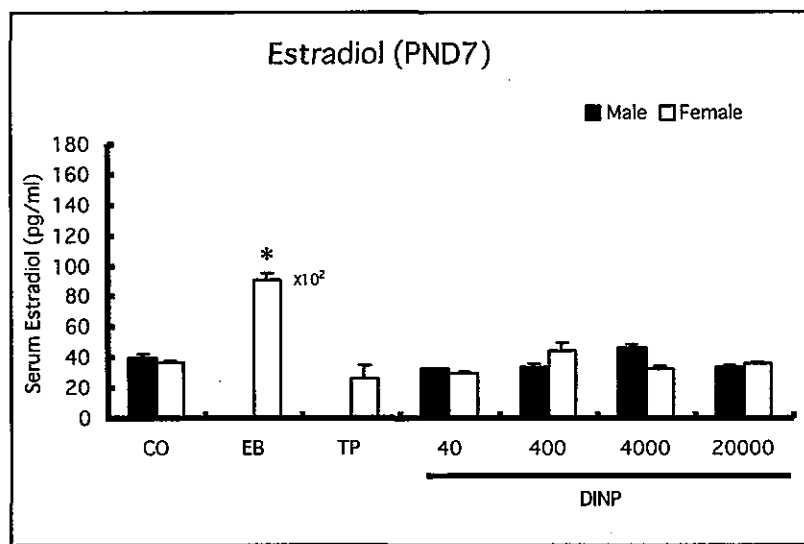


Fig. 1-34

7日齢ラットの血清中estradiol濃度に対する性ステロイドおよびDInPの影響。 * : p<0.05 vs. CO

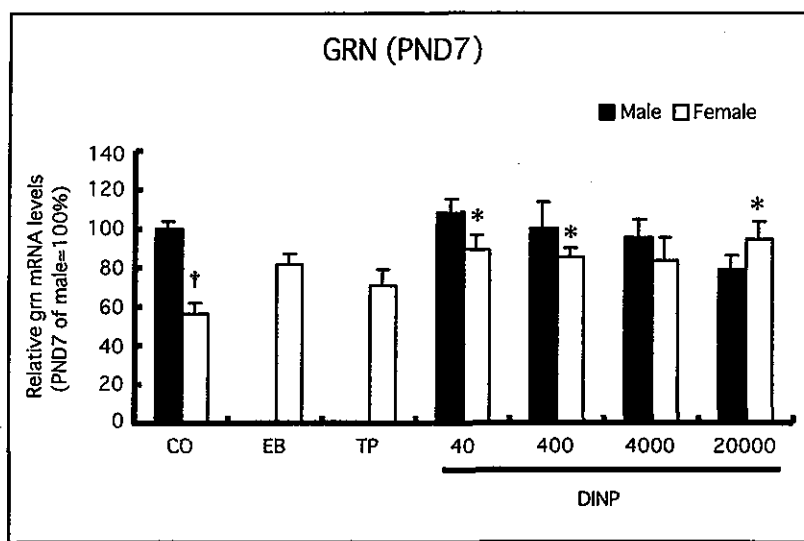


Fig. 1-35

7日齢ラットの視床下部 granulin (grn) 遺伝子発現に対する性ステロイドおよびDINPの影響。

† : p<0.05 male vs. female, * : p<0.05 vs. CO

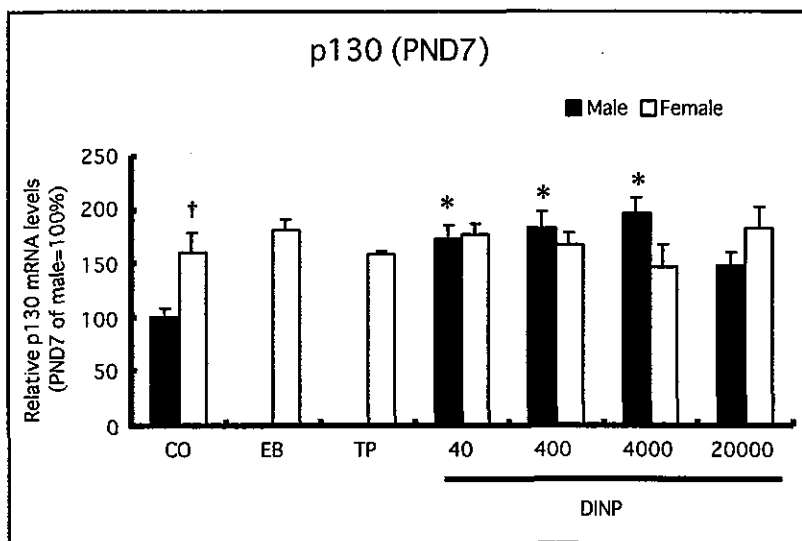


Fig. 1-36

7日齢ラットの視床下部 p130 遺伝子発現に対する性ステロイドおよびDINPの影響。

† : p<0.05 male vs. female, * : p<0.05 vs. CO

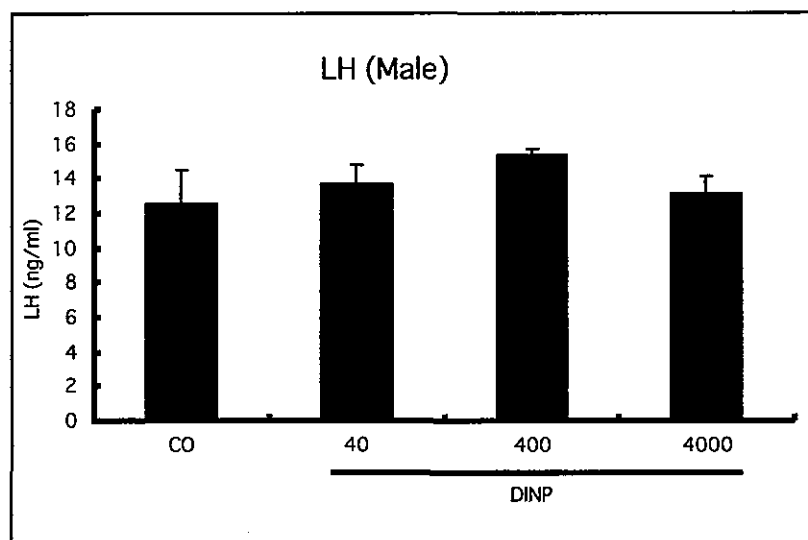


Fig. 1-37

21週齢雄ラットの血清中LH濃度に対するDINPの影響.

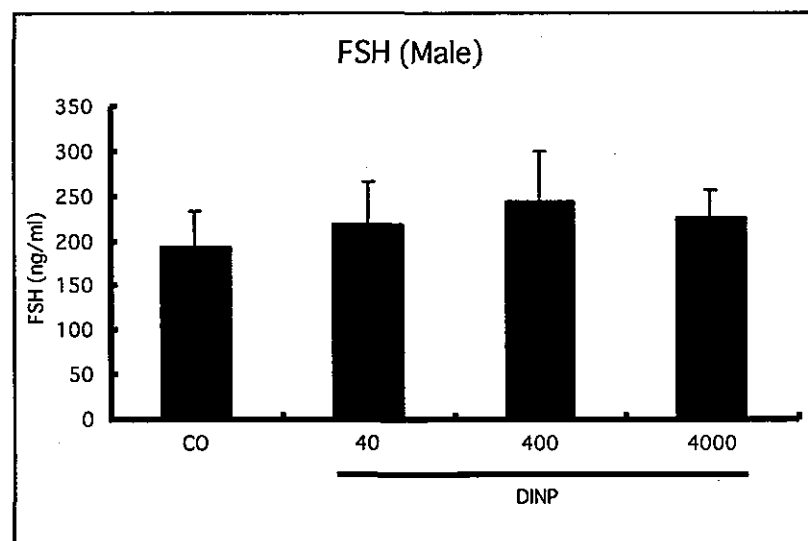


Fig. 1-38

21週齢雄ラットの血清中FSH濃度に対するDINPの影響.

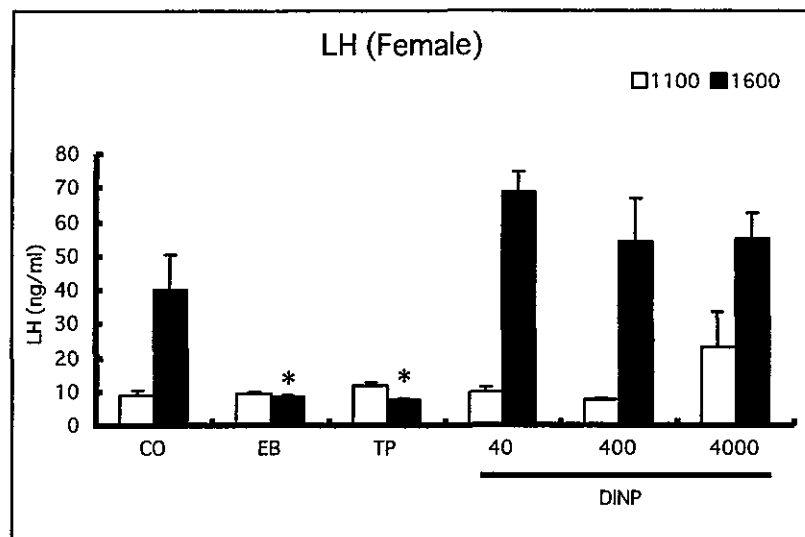


Fig. 1-39

21週齢雌ラットの血清中LH濃度に対するDINPの影響.

* : $p < 0.05$ vs. CO

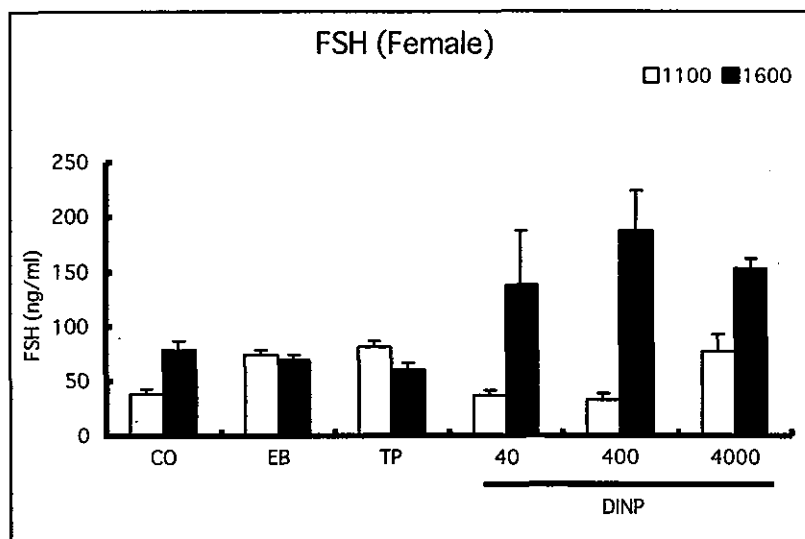


Fig. 1-40

21週齢雌ラットの血清中FSH濃度に対するDINPの影響.

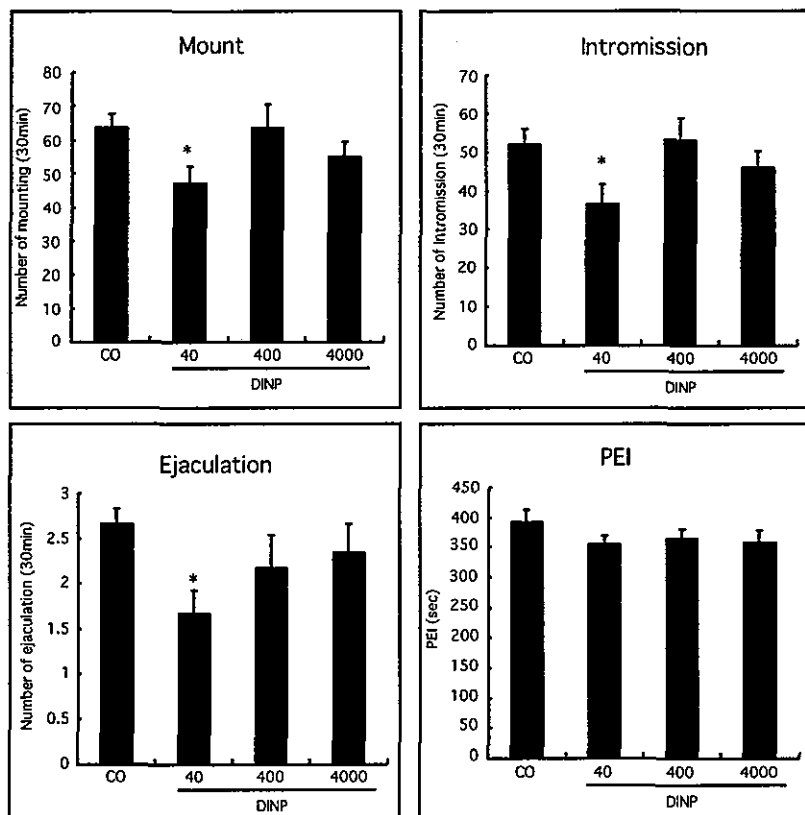


Fig. 1-41
11週齢雄ラットの性行動に対するDINPの影響.
* : p<0.05 vs. CO

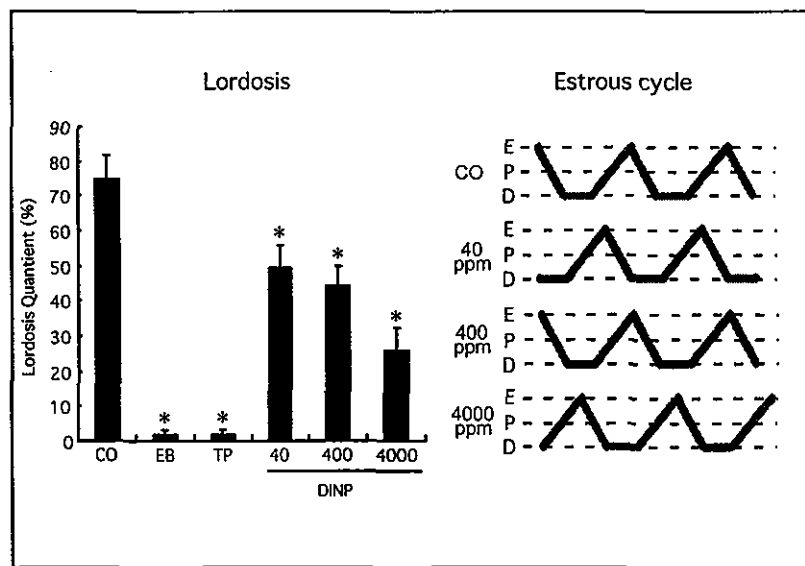


Fig. 1-42
11週齢雌ラットのロードーシス反射の出現及び性周期に
に対するDINPの影響. * : p<0.05 vs. CO

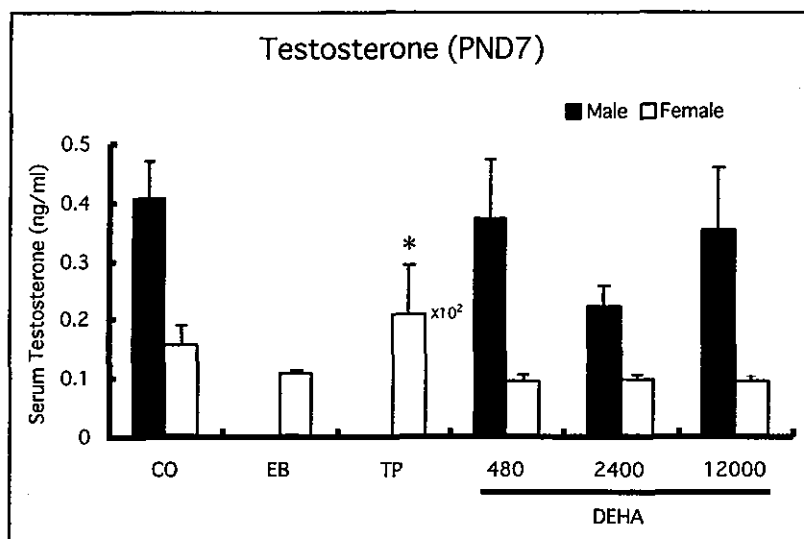


Fig. 1-43

7日齢ラットの血清中testosterone濃度に対する性ステロイドおよびDEHAの影響. * : p<0.05 vs. CO

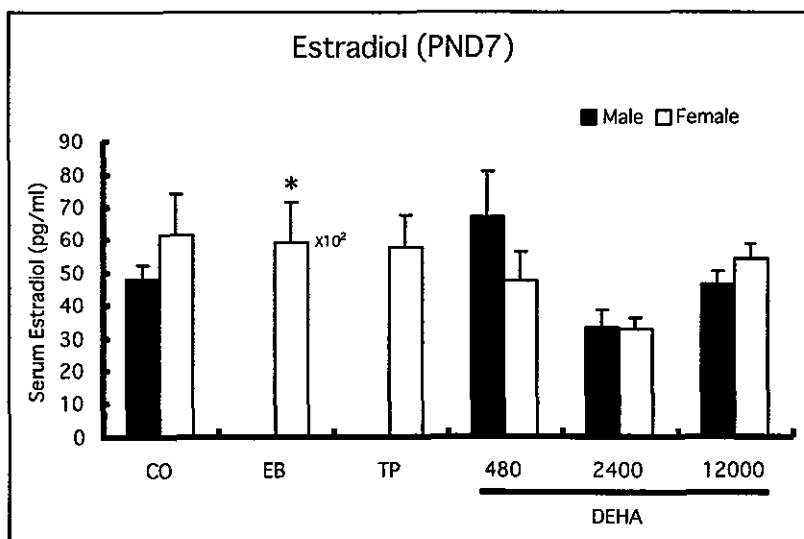


Fig. 1-44

7日齢ラットの血清中estradiol濃度に対する性ステロイドおよびDEHAの影響. * : p<0.05 vs. CO